

الله يحيى



دانشگاه تربیت مدرس

دانشکده علوم زیستی

پایان نامه دوره‌ی کارشناسی ارشد زیست شناسی گرایش ژنتیک

عنوان:

بررسی بیان miR-302 و miR-145 در نمونه‌های پارافینه سرطان مری و مقایسه آن با بافت‌های

حاشیه توموری

نگارش:

مجتبی تبریزی

استاد راهنما:

دکتر سید جواد مولی

استاد مشاور اول:

دکتر محمد واسعی

استاد مشاور دوم:

دکتر نادر منصور سمائی

۱۳۹۱ تیر

تقدیم به

خانواده عزیز، اساتید گرانقدر و دوستان خوبیم

چکیده

مقدمه و هدف: سرطان مری یکی از کشنده‌ترین سرطان‌ها در سرتاسر جهان می‌باشد. استان گلستان یکی از بالاترین نرخ‌های شیوع سرطان سلول‌های سنگفرشی مری در جهان را دارد. MicroRNA‌ها یک گروه از RNA‌های غیر کد کننده هستند که بیان تنظیم نشده آن‌ها با بسیاری از سرطان‌ها در ارتباط است. خوش^۱ miR-302-367 شامل نه microRNA است، که بیان آن‌ها محدود به سلول‌های بنیادی جنینی و سلول‌های کارسینومای جنینی است و از تنظیم کننده‌های حالت بنیادی می‌باشند. با توجه به بازبیان برخی از ژن‌های تکوینی در روند توموری شدن، به دنبال بررسی میزان بیان این mRNA در سرطان مری در مقایسه با بافت غیر توموری بودیم. از سوی دیگر، miR-145 نقش مهمی در کنترل وقایع مختلف سلولی از جمله تکثیر، تمایز و آپوپتوز ایفا می‌کند. این microRNA نقش مهار کننده توموری^۲ دارد و بیان آن در بسیاری از سرطان‌ها کاهش می‌یابد. در این تحقیق به دنبال بررسی تغییرات بیان این microRNA در سرطان مری بودیم.

مواد و روش‌ها: از نمونه‌های پارافینه برش‌هایی تهیه شد و نواحی توموری و حاشیه توموری در آن‌ها توسط پاتولوژیست تعیین شد. استخراج RNA، سنتز cDNA و real-time PCR برای آن‌ها انجام گرفت. نتایج توسط نرم افزار LinRegPCR پردازش شد و در نهایت بیان ژن توسط نرم افزار Rest 2009 آنالیز شد.

یافته‌ها: نتایج حاکی از آن است که میزان بیان miR-302b در کل نمونه‌ها و در هیچ یک از دسته بندي‌های تومور، بر اساس میزان تمایز یافتگی، بین نمونه‌های توموری و حاشیه توموری تفاوت معنی داری ندارد ($P > 0.05$). اما بیان miR-145 در نمونه‌های توموری نسبت به حاشیه توموری در مجموع نمونه‌ها کاهش نشان داد ($P \leq 0.01$). همچنین آنالیز نمونه‌ها بر اساس میزان تمایز یافتگی، نشان داد این کاهش بیان در نمونه‌های با تمایز پائین^۳ و تمایز خوب^۴ از لحاظ آماری معنی دار بود ($P \leq 0.05$).

بحث و نتیجه گیری: این نتایج نشان داد که بیان miR-302b، یک نشانگر اختصاصی سلول‌های بنیادی، در سرطان مری افزایش نمی‌یابد. همچنین این یافته‌ها با فعالیت مهار کننده توموری miR-145 در انطباق است و اهمیت این microRNA را به عنوان یک نشانگر برای تشخیص و یک هدف برای درمان سرطان نشان می‌دهد.

کلمات کلیدی: سرطان مری، miR-302b، نشانگر اختصاصی سلول‌های بنیادی، miR-145، مهار کننده تومور^۵

¹ Cluster

² tumor suppressor

³ poorly differentiated

⁴ well differentiated

⁵ tumor suppressor

فهرست مطالب

| صفحه | عنوان |
|------|---|
| ۵ | فهرست مطالب |
| ۶ | فهرست جدول‌ها |
| ۷ | فهرست شکل‌ها |
| ۱ | فصل اول-مقدمه |
| ۲ | -۱-۱ پیشگفتار |
| ۷ | -۲-۱ آناتومی مری |
| ۸ | -۳-۱ سرطان مری |
| ۸ | -۱-۳-۱ طبقه بندی |
| ۹ | -۱-۱-۳-۱ مرحله بندی سرطان |
| ۱۱ | -۲-۱-۳-۱ درجه تومور |
| ۱۳ | -۲-۳-۱ نشانه‌ها و علائم |
| ۱۳ | -۳-۳-۱ عوامل موثر در افزایش خطر سرطان مری |
| ۱۴ | -۴-۳-۱ تشخیص |
| ۱۵ | -۵-۳-۱ درمان |
| ۱۶ | -۶-۳-۱ پیش آگهی |
| ۱۶ | -۷-۳-۱ اپیدمیولوژی |
| ۱۸ | -۴-۱ منشا سرطان |
| ۱۸ | -۱-۴-۱ فرضیه منشا کلونال سرطان |
| ۱۹ | -۲-۴-۱ فرضیه سلول‌های بنیادی سرطانی |
| ۱۹ | -۱-۲-۴-۱ سلول‌های بنیادی |

| | | |
|----|--------------------------------------|-----------|
| ۲۰ | نقش سلول های بنیادی در سرطان | -۴-۲-۲-۲- |
| ۲۲ | MicroRNA ها | -۱-۵-۱ |
| ۲۳ | شناسایی microRNA ها | -۱-۵-۱ |
| ۲۳ | بیوژنز microRNA ها | -۱-۵-۲ |
| ۲۴ | رونویسی microRNA ها | -۱-۵-۳ |
| ۲۵ | پردازش در هسته | -۱-۵-۴ |
| ۲۵ | خروج از هسته | -۱-۵-۵ |
| ۲۶ | پردازش در سیتوپلاسم | -۱-۵-۶ |
| ۲۶ | RNA-induced silencing complex (RISC) | -۱-۵-۷ |
| ۲۷ | مکانیسم مهار توسط miRNA | -۱-۵-۸ |
| ۲۸ | عملکرد سلولی | -۱-۵-۹ |
| ۲۹ | microRNA ها و سرطان | -۱-۵-۱۰ |
| ۳۰ | بيان و عملکرد خوشة miR-367-302 | -۱-۶-۶ |
| ۳۱ | ساختار ژن miR-367-302 | -۱-۶-۱ |
| ۳۳ | فعالیت پروموتر miR-367-302 | -۱-۶-۲ |
| ۳۴ | بيان و عملکرد miR-145 | -۱-۷-۷ |
| ۳۷ | نقش miR-145 در سلول های بنیادی | -۱-۷-۱ |
| ۴۰ | ضرورت تحقیق و اهداف آن | -۱-۸ |
| ۴۴ | فصل دوم- مواد و روشها | |
| ۴۵ | جمع آوری نمونه | -۲-۱ |
| ۴۸ | استخراج RNA | -۲-۲ |
| ۴۸ | پارافین زدایی | -۲-۲-۱ |
| ۵۰ | استخراج RNA تام با تریزیول | -۲-۲-۲ |
| ۵۱ | سنجهش غلظت و خلوص RNA | -۲-۳ |

| | |
|----|---|
| ۵۲ | -۴-۲ حذف آلدگی احتمالی DNA (تیمار با Dnase) |
| ۵۳ | -۵-۲ سنجش بیان microRNA توسط miRCURY LNA™ Universal RT microRNA کیت |
| ۵۴ | PCR |
| ۵۵ | -۱-۵-۲ سنتز cDNA |
| ۵۶ | -۲-۵-۲ پرایمر های 5S rRNA و miR-145، miR-302b |
| ۵۷ | -۳-۵-۲ آماده سازی پرایمر ها |
| ۵۸ | -۴-۵-۲ Real-time PCR |
| ۵۹ | -۱-۴-۵-۲ انجام Applied Biosystems 7500 real-time RT-PCR با دستگاه |
| ۶۰ | -۵-۵-۲ روش Ct مقایسه ای ($\Delta\Delta CT$) |
| ۶۱ | -۶-۵-۲ روش Pfaffl |
| ۶۲ | -۷-۵-۲ مفهوم کارایی پرایمر |
| ۶۳ | -۶-۶-۲ روش انجام ISH روی بلوک های پارافینه |
| ۶۴ | -۲-۶-۲ روش انجام ISH روی سلول های NT2 |
| ۶۵ | -۱-۲-۶-۲ کشت، پاساز و انجماد رده سلولی تراتوکارسینومای جنینی |
| ۶۶ | -۲-۲-۶-۲ ISH بر روی کشت سلول |
| ۷۷ | فصل سوم- نتایج |
| ۷۸ | -۱-۳ بررسی کیفیت و کمیت RNA ی استخراج شده |
| ۷۹ | -۲-۳ تایید اختصاصیت پرایمر ها در تکثیر قطعات |
| ۸۰ | -۳-۳ تعیین کارایی پرایمر ها |
| ۸۱ | -۴-۳ نتایج Real-time PCR |
| ۸۲ | -۵-۳ آنالیز با نرم افزار Rest 2009 بر اساس میزان تمایز یافتگی |
| ۸۳ | -۶-۳ نتایج بررسی میزان بیان miR-302b |
| ۸۴ | -۷-۳ نتایج بررسی میزان بیان miR-145 |

| | |
|-----|---|
| ۸۸ | -۸-۳ نتایج ISH |
| ۹۶ | فصل چهارم-بحث و نتیجه‌گیری |
| ۹۷ | -۱-۴ اهمیت کار بر روی نمونه‌های پارافینه و مشکلات مربوط به آن |
| ۹۸ | -۲-۴ تفسیر نتایج حاصل از بیان miR-302b |
| ۱۰۱ | -۳-۴ تفسیر نتایج حاصل از بیان miR-145 |
| ۱۰۳ | -۴-۴ پیشنهاد‌ها جهت تحقیقات آینده |
| ۱۰۵ | فهرست مراجع |

فهرست جدول‌ها

| عنوان | صفحه |
|--|------|
| جدول ۱-۲: اطلاعات مربوط به کلیه نمونه‌ها بر اساس میزان تمایز یافتنگی، میزان آماس، سن و جنسیت | ۴۶ |
| جدول ۲-۲: تعداد نمونه‌ها در هر زیرگروه بر اساس میزان تمایز یافتنگی | ۴۸ |
| جدول ۲-۳: مواد سازنده بافر پروتئیناز K (PH=8) جهت استخراج RNA | ۴۹ |
| جدول ۴-۲: مراحل و زمان دپارافینه کردن | ۶۴ |
| جدول ۵-۲: ساخت بافر پروتئیناز K جهت ISH (PH=7.4) و مقادیر محاسبه شده برای حجم ۵۰ میلی لیتر | ۶۵ |
| جدول ۶-۲: مراحل آبگیری | ۶۶ |
| جدول ۷-۲: مراحل شستشوی اسلاید‌ها | ۶۸ |
| جدول ۸-۲: ساخت بافر 20xSSC | ۶۸ |
| جدول ۹-۲: ساخت بافر آلکالین فسفاتاز (PH=9.5) و مقادیر محاسبه شده برای حجم ۸۰ میلی لیتر | ۷۰ |
| جدول ۱۰-۲: مراحل آبگیری | ۷۱ |
| جدول ۱۱-۲: ساخت محلول پارافرمائولئید ۴٪ وزنی حجمی | ۷۵ |
| جدول ۱-۳: میانگین کارایی پرایمر‌ها | ۸۲ |
| جدول ۲-۳: Ct های میانگین حاصل از real-time | ۸۴ |

فهرست شکل‌ها

| عنوان | صفحه |
|---|------|
| شكل ۱-۱: آناتومی مری | ۷ |
| شكل ۱-۲: مراحل سرطان مری | ۱۱ |
| شكل ۱-۳: کمربند سرطان مری در آسیای مرکزی از ایران تا چین امتداد یافته است [۵۵]. | ۱۷ |
| شكل ۱-۴: مدل رایج سنتز و فعالیت miRNA | ۲۷ |
| شكل ۱-۵: ساختار خوشة miR-302-367 | ۳۲ |
| شكل ۱-۶: مسیر های سیگنالینگ خوشه miR-302-367 در حفظ حالت خودبازسازی و پرتوانی | ۳۴ |
| شكل ۱-۷: یک مدل کلی از فعالیت miR-145 به عنوان مهار کننده تومور | ۳۶ |
| شكل ۱-۸: نقش microRNA ها در تنظیم تعادل در سلول های بنیادی | ۳۹ |
| شكل ۱-۹: طرح کلی برای سنجش میزان بیان هر microRNA | ۵۴ |
| شكل ۲-۱: طرح شماتیک تکثیر microRNA بوسیله استفاده از دم پلی A | ۵۵ |
| شكل ۲-۲: ساختار قفل شده LNA | ۵۷ |
| شكل ۲-۳: طرح کلی ISH | ۶۲ |
| شكل ۲-۴: ژل پلی اکریل آمید | ۷۹ |
| شكل ۲-۵: منحنی ذوب برای D) U6 snRNA و C) 5s rRNA .B) miR-145 ,A) miR-302 | ۸۰ |
| شكل ۲-۶: منحنی تکثیر سیگموئیدی برای D) U6 snRNA و C) 5s rRNA .B) miR-145 ,A) miR-302 | ۸۲ |
| شكل ۳-۱: میزان بیان miR-302b در کل نمونه ها اختلاف معنی داری بین نمونه های توموری و غیر توموری نداشت. | ۸۶ |

- شکل ۵-۳: مقایسه میزان بیان miR-302b در مجموع نمونه ها (Total)، نمونه های با ترکیبی از درجات
تمایزیافتگی ۸۶
- شکل ۶-۳: میزان بیان miR-145 در نمونه های توموری نسبت به غیر توموری کاهش معنی داری داشت.
..... ۸۷
- شکل ۷-۳: مقایسه میزان بیان miR-145 در مجموع نمونه ها (Total)، نمونه های با ترکیبی از درجات
تمایزیافتگی ۸۷
- شکل ۸-۳: ISH پروب U6 با سه زمان مختلف پروتئیناز K بر روی نمونه های سرطان مری. ۸۹
- شکل ۹-۳: منحنی تکثیر miR-302b و U6 snRNA در نمونه دیسٹرمنو ما ۹۰
- شکل ۱۰-۳: منحنی تکثیر miR-302b و ۵S rRNA در نمونه تومور کیسه زرد ۹۲
- شکل ۱۱-۳: ISH مربوط به تومور کیسه زرد با پروب U6 snRNA با غلظت ۵۰ نانو مولار ۹۳
- شکل ۱۲-۳: ISH مربوط به تومور کیسه زرد با پروب miR-302b با غلظت ۱۰۰ نانو مولار، دمای
شستشوی ۴۵ °C و دمای هیبریداسیون ۴۵ °C ۹۳
- شکل ۱۳-۳: ISH مربوط به تومور کیسه زرد با پروب Scrambled با غلظت ۱۰۰ نانو مولار، دمای
شستشوی ۴۵ °C و دمای هیبریداسیون ۴۵ °C ۹۴
- شکل ۱۴-۳: ISH مربوط به تومور کیسه زرد با پروب miR-302b با غلظت ۱۰۰ نانو مولار، دمای
شستشوی ۴۷ °C ۹۴
- شکل ۱۵-۳: حذف سیگنال های غیر اختصاصی پروب Scrambled با افزایش دمای شستشو و
هیبریداسیون ۹۵

فصل اول

مقدمه

۱-۱- پیشگفتار

سرطان مری^۱ یکی از کشنده‌ترین سرطان‌ها در سرتاسر جهان می‌باشد، که مطالعات کمی روی آن انجام شده است[۱]. این سرطان ششمین سرطان شایع در دنیا به شمار می‌آید و از ویژگی‌های آن پیشرفت سریع و کشنده بودن آن می‌باشد. احتمال وقوع سرطان با افزایش سن زیاد می‌شود و بیشتر افراد مبتلا ۵۰ تا ۷۰ ساله اند. نرخ مرگ و میر تقریباً ۹۰٪ وقوع بیماری است[۲]. سرطان سلول‌های سنگفرشی مری (ESCC)^۲ و آدنوکارسینوما^۳ دو نوع شایع این سرطان می‌باشند[۳]. استان گلستان در شمال شرقی ایران یکی از بالاترین نرخ‌های شیوع سرطان سلول‌های سنگفرشی مری در جهان را دارد[۴]. مطالعات اولیه میزان شیوع بالا در نواحی ترکمن نشین استان گلستان را گزارش کرده بودند[۵]؛ اما مطالعات بعدی نشان دادند اختلاف معنی داری بین ترکمن‌ها و غیر ترکمن‌ها از لحاظ زمینه^۶ ژنتیکی که آن‌ها را مستعد بیماری کند وجود ندارد. بر این اساس عوامل محیطی احتمالاً نقش مهم‌تری نسبت به زمینه ژنتیکی دارند[۶].

¹ Esophageal cancer

² ESCC: Esophageal Squamous Cell Carcinoma

³ Adenocarcinomas

⁴ Background

صرف سیگار، ناس، مواد مخدر، نوشیدن چای داغ، سلامت دهانی نامناسب، مصرف کم میوه‌های تازه و سبزیجات، شرایط اقتصادی اجتماعی نامطلوب و رژیم غذایی حاوی مقادیر کم ویتامین‌های A و C در افزایش وقوع سرطان سلول‌های سنگفرشی مری در این ناحیه از کشورمان نقش دارند[۷-۱۰]. در راستای درمان این بیماری تحقیقات زیادی انجام گرفته است. جراحی، شیمی درمانی، پرتو درمانی^۱ و یا ترکیبی از آن‌ها جزو درمان‌های مرسوم می‌باشند، اگرچه نتایج آن‌ها رضایت بخش نبوده است[۱۱]. درنتیجه تحقیقات روی یافتن درمان‌های اختصاصی متمرکز شده است.

امروزه نشانگرهای قدرتمندی جهت تشخیص سرطان به شمار می‌آیند[۱۲]. miRNA (MicroRNA) ها این مولکول‌ها یک گروه از RNA‌های غیر کد کننده به طول ۲۱-۲۳ نوکلئوتید هستند که نقش‌های متعددی در کنترل مسیرهای سیگنالینگ، متابولیسم، آپوپتوز و نمو بر عهده دارند. بعلاوه بیان تنظیم نشده آن‌ها با بسیاری از سرطان‌ها در ارتباط است. ژن‌های کد کننده آن‌ها غالباً در نواحی اینترونی یا در جهت آنتی سنس ژن‌های دیگر قرار دارند و در هسته توسط RNA Pol II نسخه برداری می‌شوند. pri-miRNA دو رشته ای حاصل شده توسط پروتئین هسته ای DGCR8 یا Pasha که با پروتئین Drosha همراه است شناسائی و متعاقباً توسط Drosha برش زده می‌شود. محصول یک pre-miRNA است که ساختار سنjac سری^۲ دارد و توسط Exportin-5 به سیتوپلاسم وارد می‌شود. در این مرحله pre-miRNA توسط آنزیم Dicer به ساختار دو رشته ای miRNA برش می‌خورد. در این کمپلکس خانواده Argonaute پروتئینی نقش مركزی ایفا می‌کند[۱۳-۱۶].

¹ radiotherapy
² Hairpin

سابقاً تصور می شد microRNA‌ها فقط در سطح بعد از نسخه برداری از طریق جفت شدن بازهای انتهایی ۵' شان، خصوصاً نوکلئوتیدهای ۲ تا ۸ یا ناحیه seed، با انتهایی ترجمه نشده ۳' mRNA بیان ژن را کنترل می کنند. در این منظر microRNA‌ها از طریق مهار ترجمه، کاهش سرعت ترجمه، دادنیلاسیون^۱ mRNA و تسريع تخریب آن و تحریک تخریب پروتئین باعث کاهش بازده پروتئینی می گردند [۱۷]. تحقیقات جدید توانایی این مولکول‌ها در کنترل بیان ژن از طریق تاثیر بر اپی ژنتیک^۲ پرومودر را به اثبات رسانده است [۱۸]. بعلاوه نقش این مولکول‌ها در افزایش بیان ژن از طریق تاثیر بر ناحیه ترجمه نشده ۵' mRNA^۳ میانکنش مستقیم آن‌ها با پروتئین‌ها و کاهش بیان ژن با تاثیر بر ناحیه کد کننده ژن (CDS)^۴ نشان داده شده است. مجموعه عوامل ذکر شده اهمیت مطالعه microRNA‌ها را جهت درک بهتر وقایع مختلف از جمله سرطان پر رنگ تر می سازد [۱۹-۲۱].

خوشه ۳۶۷ miR-302-367 microRNA می باشد که از منطقه ای به طول 700-bp در کروموزوم ۴ به صورت پلی سیسترونی^۵ نسخه برداری می شود. در واقع این خوشه با ژن LARP7 همپوشانی دارد [۲۲، ۲۳]. پرومودر این مجموعه تحت تاثیر فاکتورهای رونویسی OCT4، SOX2 و NANOG است [۲۴]؛ از این رو بیان این microRNA‌ها محدود به سلول‌های بنیادی جنینی (ES^۶) با سرعت تکثیر پائین و سلول‌های کارسینومای جنینی (EC^۷) می باشد و طی تمایز بیان آن‌ها کاهش می یابد [۲۵]. در نتیجه این خوشه از واسطه‌های تنظیم کننده حالت بنیادی می باشد، اما جالب این که افزایش بیان آن به تنها‌ی کافی است تا سلول‌های سرطانی را به سمت حالت بنیادی هدایت کنند [۲۶].

^۱ 3'-UTRs: 3'-Untranslated Regions

^۲ De-adenylation

^۳ Epigenetic

^۴ 5'-UTRs: 5'-Untranslated Regions

^۵ CDS: Coding Sequence

^۶ Polycistronic transcript

^۷ ES: Embryonic Stem

^۸ EC: Embryonal Carcinoma

سلول‌های سرطانی پوست که توسط این خوشة ترانسفورم شدند تولید سلول‌های بنیادی القا شده با واسطه microRNA را کردند (mirPS^۱)، که نه تنها نشانگرهای اصلی سلول‌های بنیادی از قبیل OCT4، SSEA-3، SSEA-4، NANOG، SOX2 بیان می‌کردند، بلکه ژنوم آن‌ها مشابه زیگوت بسیار دمتیله بود. پروفایل بیان ژن‌ها در این سلول‌ها، با سلول‌های بنیادی مشاهده شد. بعلاوه این سلول‌ها توانایی تمایز به انواع سلول‌ها را داشتند، که یک گزینه مناسب درمانی را فراهم می‌آورند [۲۷]. افزایش G1 بیان این خوشة باعث تجمع سلول‌ها در فاز S می‌شود، در حالی که مهار آن باعث تجمع در فاز Cyclin D1 می‌شود. همچنین نشان داده شده است که بیان بالای miR-302a مهار بیان D1 که یکی از تنظیم‌کننده‌های اصلی مرحله G1 می‌باشد را باعث می‌گردد [۲۸].

نقش مهمی در کنترل وقایع مختلف سلولی از جمله تکثیر، تمایز و آپوپتوز ایفا می‌کند. اگرچه در اکثر موارد برای آن نقش مهار کننده توموری در نظر می‌گیرند، در موردی نقش انکوژنی نیز به آن نسبت داده شده است [۲۹]. بیان این microRNA در بسیاری از سرطان‌ها کاهش می‌یابد. این جنبه اهمیت آن را به عنوان یک نشانگر برای تشخیص و یک هدف برای درمان سرطان نشان می‌دهد [۳۰-۳۲].

miR-145 از منطقه ای به طول ۴۰۹ کیلو باز در کروموزوم ۵ (5q32-33) نسخه برداری می‌شود. این microRNA در مجاورت miR-143 واقع شده که در بعضی سندروم‌ها حذف می‌شود و تصور می‌شود نسخه برداری از آن همراه با miR-143 باشد؛ اگرچه ساختار pri-microRNA آن هنوز شناسایی نشده است [۳۳]. از سوی دیگر، ناحیه 5q31.1. یکی از مناطق شکننده کروموزومی است که می‌تواند توجیه کننده کاهش بیان miR-145 در بسیاری از سرطان‌ها باشد [۳۴]. همچنین نشان داده شده پروتئین P53

^۱ mirPS: miRNA-induced Pluripotent Stem

با اتصال به پرومومتر ژن miR-145 باعث القا بیان آن می شود. از طرف دیگر، P53 از طریق برهمنکنش با Drosha باعث افزایش پردازش رونوشت ابتدایی miR-145 می شود که یک سطح تنظیمی جدید در مرحله پس از نسخه برداری را نشان می دهد. بعلاوه این microRNA با مهار c-Myc باعث جلوگیری از تکثیر سلول‌های سرطانی می شود[۳۵، ۳۶].

این microRNA در سلول‌های تمایز نیافته به میزان کم بیان می شود و با تمایز میزان آن افزایش می یابد. miR-145 انتهای ترجمه نشده³ رونوشت‌های OCT4، SOX2 و KLF4 را هدف قرار داده و باعث کاهش بیان آن‌ها می گردد. از سوی دیگر نشان داده شده OCT4 نیز باعث کاهش بیان این microRNA می گردد، که یک فیدبک منفی دو جانبه را بین این پروتئین و miR-145 نمایان می سازد[۳۷].

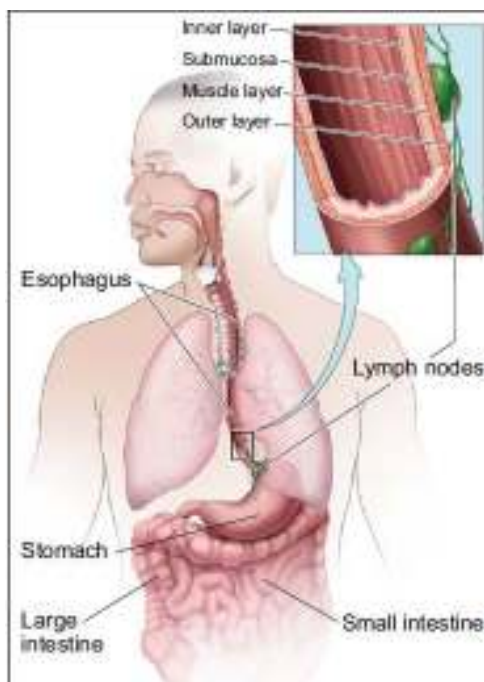
در خاتمه همان طور که گفته شد از یک طرف خانواده miR-302 تحت تاثیر فاکتورهای رونویسی اختصاصی سلول‌های بنیادی هستند[۲۲]، که با هدف قرار دادن پروتئین‌های تنظیم کننده پرتوانی¹ نقش بسزایی در حفظ حالت خودبازسازی² دارند. از سوی دیگر تنظیم کننده‌های اصلی پرتوانی OCT4، SOX2 و KLF4- مستقیما تحت تاثیر miR-145 قرار می گیرند، که کنترل دقیق تکثیر و تمایز سلول‌های بنیادی را تضمین می کند. به این ترتیب مهار دو جانبه موجود میان miR-145 و OCT4 ممکن است در بسیاری از تومورها miR-145 کاهش بیان می یابد، که پیشنهاد می کند این miRNA ممکن است در حفظ تمایز و مهار تکثیر یک نقش عمومی داشته باشد[۳۸].

¹ Pluripotency

² Self-renewal

۲-۱ آناتومی مری

مری اندامی در مهره داران است که شامل یک لوله ماهیچه‌ای است و از طریق آن غذا از حلق به معده می‌رسد. در واقع طی بلع، غذا از طریق دهان به حلق، سپس مری و از آنجا توسط حرکات پریستالتیک به معده منتقل می‌شود.



شکل ۱-۱: آناتومی مری

در این شکل لایه‌های مختلف مری و موقعیت این عضو نسبت به سایر اعضاء نشان داده شده است [۳۹].

۱-۳-۱ سرطان مری^۱

سرطان مری بدخیمی مری است که معمولاً منجر به دیسفاژی^۲ (سختی بلع)، درد و سایر علایم می شود[۱۵]. این سرطان یکی از بدخیم ترین سرطان های دستگاه گوارش می باشد، که به میزان زیاد در آسیا و جنوب آمریکا شیوع دارد. ایجاد سرطان مری یک فرایند پیش رونده و چند مرحله ای است. شاخص اولیه این فرایند شامل افزایش تکثیر سلول های اپیتیلیال مری است [۴۰-۴۲].

در میان انواع مختلف این سرطان، سرطان سلول های سنگفرشی^۳ مری بیشتر شایع است و نرخ مرگ و میر بیشتری دارد. روند سرطانی شدن در سطح سلولی در ارتباط با عدم کنترل تکثیر و تمایز سلول ها و مرگ سلولی می باشد. در این روند، تغییرات ژنتیکی مختلفی مثل جهش در زن p53 و افزایش^۴ تعداد کپی زن cyclin D1 دخیل می باشند[۴۳].

۱-۳-۲ طبقه بندی

سرطان مری معمولاً از نوع کارسینوما می باشند که منشا اپیتیلیومی دارد. اکثر سرطان های مری در یکی از دو دسته طبقه بندی می شوند:

۱. سرطان سلول های سنگفرشی که شباهت ظاهری با سرطان سر و گردن دارد و با مصرف تنباکو و الکل در ارتباط است.

¹ Esophageal cancer or Oesophageal cancer

² dysphagia

³ squamous cell carcinomas

⁴ amplification

۲. آدنوکارسینوما که معمولاً با سابقه ریفلакс^۱ (بازگشت محتويات همراه با اسید معده به مری و آسیب مخاط مری) و مری بارت (که در آن مخاط سنگفرشی طبیعی انتهای تحتانی مری با مخاط استوانهای حاوی سلول‌های ترشحی - مشابه بافت روده- جایگزین شده‌اند) همراه است.

به طور کلی سرطان‌های دو سوم بالایی مری از نوع سرطان سلول‌های سنگفرشی و موارد یک سوم پائینی از نوع آدنوکارسینوما می‌باشند. موارد نادر این سرطان ترکیبات مختلفی از سرطان سلول‌های سنگفرشی و تومور‌های غیر اپیتیال از قبیل لیومیوسارکوما^۲، ملانومای بدخیم^۳، رابdomiosarcoma^۴ و لنفوما^۵ هستند[۴۴، ۴۵].

۱-۱-۳-۱- مرحله بندی سرطان^۶

مرحله بندی بر اساس آگهی از شیوه پیشرفت سرطان انجام می‌شود. سلول‌های سرطانی بدون کنترل رشد می‌کنند و تقسیم می‌شوند، ولی در زمان مقرر نمی‌میرند. در نتیجه یک توده بافتی به نام تومور را ایجاد می‌کنند. هنگامی که تومور رشد می‌کند به بافت‌ها و اندام‌های مجاور تهاجم می‌کند. سلول‌های سرطانی می‌توانند از تومور مهاجرت کنند و به جریان خون و یا سیستم لنفی وارد شوند. با حرکت در خون و یا سیستم لنفی، سلول‌های سرطانی می‌توانند از محل اولیه خود به گره‌های لنفی و یا سایر اندام‌ها گسترش یابند. ایجاد سرطان در محل جدید متاستاز^۷ خوانده می‌شود.

سرطان مری شامل مراحل زیر می‌باشد:

¹ gastroesophageal reflux disease

² leiomyosarcoma

³ malignant melanoma

⁴ rhabdomyosarcoma

⁵ lymphoma

⁶ Cancer Staging

⁷ metastasis